

電離層研究를 爲한 電子計測

徐 廷 旭

洪陵機械工業株, 工博

1. 序 論

우리가 短波로 無線通信을 하면 世界 어디서나 通信이 可能하다는 것은 잘 알려진 事實이다. 이것은 地球를 둘러싸고 있는 電離層에 의해서 電波가 反射되기 때문이다. 즉 電波가 電離層과 大地사이에서 여러번 反射를 反復해서 地球의 反對쪽까지도 傳播되어가는 것이다.

1901년 Marconi의 大西洋橫斷 無線信號傳送의 成功에 이어, A.E. Kennelly와 Oliver Heaviside가 地球의 上層大氣에 電波의 反射領域, 즉 電離層의 存在를 提案한 것이 電離層 研究의 처음이었다.

電離層에서 電波의 反射에 影響을 주는 것은 電子密度이다. 電子密度는 時間의 으로나 地域의 으로 變動이 크므로 氣象觀測과 같이 全世界에 電離層觀測地點을 많이 두어 觀測의 正確度를 높임으로써 短波通信의 確實性과 計劃性 即信賴性을 높일 수 있다. 한편 純粹科學의 側面에서도 地球還境의 構成要素인 電離層 研究가 進展되고 있다. 電波를 利用하여 電離層의 特性을 觀測하는 方法에는 地上信號의 電離層反射效果를 利用하는 것과 ロ켓트나 人工衛星으로부터의 電波信號의 電離層透過效果를 利用하는 것이 있다. 現在 普偏의 으로 使用되며 標準化된 觀測方法으로는 여러 周波數(HF~VHF)의 펄스電波를 發射하고, 各 周波數에 對하여 電離層으로부

터 反射되어 되돌아오는 時間遲延을 測定하여 電離層의 亂보기 높이 (virtual height)를 計算하는 方法이 있다. 이것은 各層(高度)마다 臨界周波數가 存在하여, 어떤 周波數의 電波를 垂直入射 시켰을 때 그 周波數가 臨界周波數보다 높으면 電離層을 透過하고 낮으면 反射되어 되돌아 오는 事實을 利用하는 것이다. 다시 말해서 臨界周波數는 電波의 電離層透過에 關한 遮斷周波數이다. 또 臨界周波數는 그 層의 最大電子密度와 關聯을 가지므로 電子密度의 높이分布도 同時に 알 수 있다. 時間遲延으로부터 計算한 電離層의 亂보기 높이는 電波의 電離層內 傳播速度가 光速보다 느리므로 참 높이보다 높아진다. 電離層은 플라스마로되어 있고 또 여기에 地磁場이 作用하고 있으므로 電離層은 磁化된 플라스마, 즉 異方性 플라스마로서 作用한다. 實際測定에서 “周波數一亂보기 높이”的 그래프를 구해보면 높은 周波數領域에서는 그래프가 2部分으로 나뉘는데, 이것은 電離層에 入射한 電波가 地磁場의 影響을 받아 電波의 傳播樣態(mode)가 2 가지로 되기 때문이며, 각각의 傳播樣態를 正常波, 異常波라고 부른다. 正常波는 反射되어 되돌아오는 時間이 길고 異常波는 짧다. 또 異常波 臨界周波數는 正常波보다 약간 높다 送信機와 受信機를 같은 場所에 놓고 電離層測定을 하는 裝置를 電離層垂直觀測裝置라고 한다.

이 電離層垂直觀測方法에는 地上에서 上方垂直으로 電波를 보내어 測定하는 下側測定法

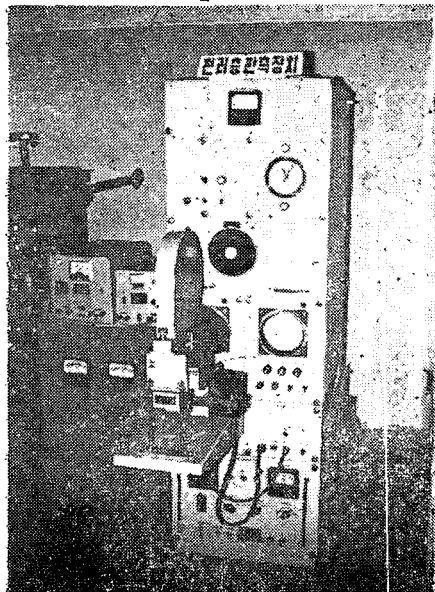
(bottom side sounding)과 人工衛星에 小型 Ionosonde를 積載하여 電離層밖의 높은 (1000 km)곳에서 下方으로 電波를 쏘아 測定하는 上方測定法 (top side sounding)의 2 가지 方法이 있다. 또 送信機와 受信機를 수천km 거리에 띄어 놓고 그 사이에 펄스 電波를 보내서 途中의 電離層의 狀態를 測定하는 入斜射電離層觀測裝置가 있다. 이 裝置를 path sounder라고 한다. 또 人工衛星을 利用하는 觀測方法에 人工衛星으로부터 beacon信號를 地上을 向해 發射하여 Faraday回轉을 測定함으로써 電子總量을 求하는 Faraday回轉法도 있다.

2. 電離層垂直觀測裝置

2.1 下側測定法

地上에 設置된 電離層垂直觀測裝置는 높은 범위에서 周波數를 可變할수 있는 펄스式레이더裝置로서 地上에서 펄스波를 垂直上方으로 電離層까지 傳播시켜 反射되어 되돌아올 때까지의 時間 t 를 周波數의 函數로서 구할 수 있도록 한것이다. 즉

$$h' (\text{km}) = \frac{1}{2} ct = 0.15t (\mu\text{s})$$



(a)

의 關係에서 t 를 걸보기높이 h' 로 換算해서 h' 와 臨界周波數와의 關係를 測定한다. 그림 1은 測定데이터의 한例를 보인 것으로서 이것을 Ionogram 또는 $h'-f$ 曲線이라고 한다.

한편 反射電波의 周波數 즉 臨界周波數와 反射點의 電子密度 N 과의 關係는 다음式으로 주어진다.

$$N(\text{個}/\text{cm}^3) = 1.24 \times 10^4 f_0^2$$

$$\text{또는 } N(\text{個}/\text{cm}^3) = 1.24 \times 10^4 (f_x^2 - f_x f_H)$$

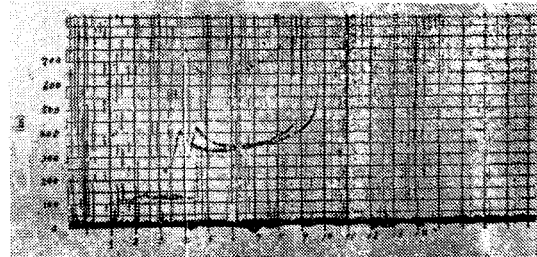
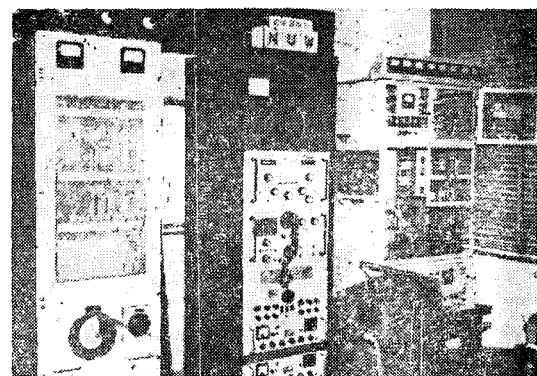


그림 1. Ionogram의 例

여기서 f_0 와 f_x 는 각各 正常波 및 異常波의 臨界周波數(MHz)이다. 그리고 f_H 는 電離層의 Gyro 周波數 혹은 Cyclotron周波數로서 대략 1.2~1.4MHz이다. f_H 는 電離層內의 電子가 地磁場의 영향을 받아 回轉運動할 때의 回轉周波數이다. 上記式의 關係에 의해서 電離層의 臨界



(b)

그림 2. Ionosonde

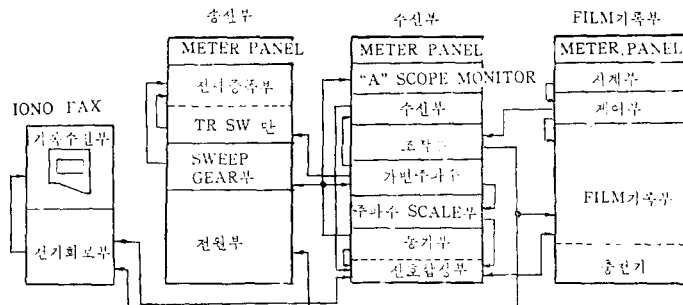


그림 3. 電離層垂直觀測裝置의 系統圖

周波數를 测定하면 結局 高さ에 대해
電子密度의 分布狀態를 구할 수 있다.

그림 2는 安養의 체신부 電波研究所에 있는
電離層垂直觀測裝置의 送受信 및 記錄部이다.

그림 3은 電離層垂直觀測裝置의 系統圖이다.
또 全體的인 性能例를 보이면 表 1과 같다.

受信機와 送信機가 連動으로 되어 있고 同調
는 共通의 VFO(可變周波數發振器)信號를 使用

表 1. Ionomonde의 性能

測定項目	$h' - f$	
環境條件	保存溫度 動作溫度 濕度	-10° ~ 40°C 10° ~ 30°C 30 ~ 80%
記錄樣式	指示方法 記綠方法 필름進行量 Iono-Fax	Braun管 35mm 필름 (120m收容) 38mm (1觀測) 付加加能
電氣的特性	送信尖頭出力 펄스幅 反復周波數 1觀測所要時間 觀測時間間隔 높이 눈금 間隔 높이 눈금 安定度 觀測 높이 範圍 周波數 Sweep 觀測周波數 周波數 눈금 送信出力임피던스 受信入力임피던스	10kW $80\mu s \pm 10\%$ 商用電源 30秒 連續 1.5分 定時觀測 (15, 30, 60分) 프로그램 觀測 50km, 200km 水晶發振器 800km ± 10% 直線 및 Log 550kHz ~ 20MHz 1MHz, 5MHz 600Ω 平衡 50Ω 不平衡

함으로써 受信機의 IF信號는 恒常 一定周波數가
되도록 自動的으로 tracking 된다. 送信機 또는
指示部의 트리거用 펄스는 30MHz 水晶發振器
에서 供給되어 이것을 分周回路에 의하여 3kHz
의 펄스로 만든 후에 적당히 整形해서 50km 높이
눈금으로 使用한다. 또 750Hz로 分周해서 200
km마다의 높이 눈금을 만든다. 周波數 눈금은
VFO의 周波數를 計數하여 1MHz마다 펄스를
發生시켜 만든다.

指示部는 A走査法을 使用한다. 오실로스코우프
의 時間軸에 電源周波數에 同期되는 펄스反復周
波가 가해지자 때문에 靜止펄스 反射信號가
觀測된다. 縱軸에는 受信機出力에 높이 눈금信號
가 重疊되어가 해진다. 35mm 필름에 記錄하는
境遇는 오실로스코우프 前面에 slit를 設置하고
이를 통하여 펄스 反射信號에 의해 輝線으로 明
暗을 만들어 필름에 摄影한다. 필름은 30秒 사
이에 10cm의 一定한 速度로 滾動되며, 떼문에
周波數가 높으면 一般的으로 時間遲延이 增大해
서 反射信號는 오른쪽으로 移動하는 것처럼 되
어 그림 1과 같은 Ionogram이 얻어진다. Iono
Fax에 記錄하는 境遇에 오실로스코우프는 特殊
한 電子ビーム 走査方式의 optical fiber tube가
使用되어 靜電寫眞의 原理가 應用된다. 즉 半導
體를 塗布한 電子寫眞用 roll 紙가 一定한 速度
로 나오고, 記錄紙의 表面에 코로나 放電이 일
어나 現象機를 통하면서 現象되어 紙上에 記錄
되는 것이다.

2.2 上側測定法

電離層觀測은 地上에서의 垂直觀測에 의하여

이루어지지만, 이 方法으로는 F_2 層보다 上側의 觀測을 할수는 없다. 따라서 美國과 카나다는 共同으로 Top Side Sounder 計劃을 위하여 人工衛星 Alouette I 號를 1962년 9월 29일에 쏘아 올렸다. 그 후 美國은 獨自의으로 Alouette II 號, ISIS I 號 등을 쏘아 올렸다. 또 日本도 1976년에 電離層觀測衛星 ISS를 發射하기 위한 計劃을 推進中이라고 한다. ISS는 아래의 4 個任務를 遂行할 수 있도록 開發이 이루어지고 있다.

(1) 電離層臨界周波數의 世界分布 觀測

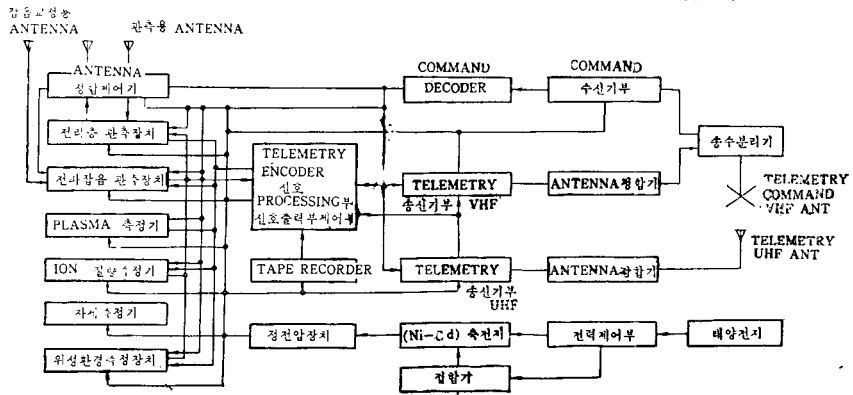


그림 4. ISS의 構成

Alouette I 號의 任務는 다음과 같다.

- (1) 電離層 上方의 觀測
- (2) 宇宙電波雜音의 觀測
- (3) VLF 帶 電波雜音의 觀測
- (4) 粒子流의 觀測

이들의 任務를 위한 機器를 積載한 Alouette I 號의 Top Side Sounder 的 系統圖는 그림 5와 같고, 그 性能概要是 表 2에 表示하였다.

測定原理는 地上에서 觀測하는 電離層垂直觀測裝置와 같으며, 데이터는

텔레미터 回線으로 地球局으로 보내진다. 텔레미터 系統은 廣帶域, 狹帶域의 2 系統으로 되어 있다. 廣帶域텔레미터는 Top Side Sounder 및 VLF의 데이터를 傳送하기 위한 것이고, 狹帶域텔레미터는 Housekeeping데이터와 其他 任務觀

(2) 電波雜音의 世界分布 觀測

- (3) 衛星이 飛行하는 空間의 플라스마 特性 測定
- (4) 衛星이 飛行하는 空間의 正이온 質量의 測定

ISS 本體의 形態는 圓筒形(直徑 94cm, 높이 82cm)이고, 電離層觀測은 周波數 0.5~15MHz의 펄스波가 sweep되어 發射되면 下方의 電離層에서 反射된 電波를 受信함으로써 電子密度의 分布 및 臨界周波數가 觀測된다. ISS의 構成概要를 그림 4에 나타내었다.

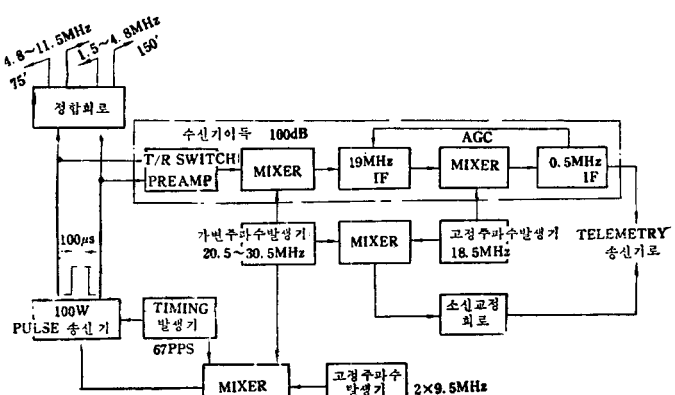


그림 5. Alouette I 號의 Top Side Sounder의 系統圖

데이터를 傳送하기 위한 것이다. 2 系統의 텔레미터를 使用하는 것은 故障時에 被害를 輕減시키며 또한 한 系統當의 帶域幅을 좁게 함으로써 地球局에서 데이터를 記錄하는 磁氣테이프의 speed를 느리게 할 수 있기 때문이다. 그림 6은

表 2. Alouette I號의 Top Side Sounder Sweep
의 性能概要

項 目	諸 元	性 能 概 要
送 信 機	尖頭出力 實効放射電力 mts 幅 mts 反復周波數 觀測周波數範圍 觀測所要時間 Sweep速度 廣帶域增幅部 消費電力	100W(400Ω入力端) 約 10W 100μs(分解能10km) 67PPS 1.5~11.5MHz(實効) 18秒(1回觀測) 1MHz/s 平均 4.3W
受 信 機	雜音指數 最低信號檢出閾 受信機帶域幅 dynamic range AGC 時定數 宇宙雜音閾 受信機消費電力	16dB -110dBm 33kHz(-3dB) 40dB 20ms 45dB(2MHz에서) 1.4W

텔레미터 및 指令系의 系統圖이다.

指令系는 信賴性을 考慮해서 2系統을 並列로 하여 常時稼動시키는 形態를 취하고 있다. 指令項目은 24個의 基本動作과 여러個의豫備裝置의 切換, 動作모우드切換,豫備電池切換等 合計 40項目의 指令動作이 可能하다. 이 中에는 觀測開始指令後 一定時間後에 自動的으로 觀測을 停止시키는 保護指令도 包含되어 있다. 指令信號는 4個의 低周波 tone을 組合시킨 符號形式이고, 이 信號는 148.26MHz를 振幅變調하고 있다. 이 4個 tone의 組合된 指令信號는 地上에서의 混信으로 因한 誤動作을 除去하기 위하여 2個의 address tone의 送信에 이어 指令系의 動作을 10秒로 制限하는 ゲ이트 回路를 附着하여 誤動作을 改善한다.

Alouette I號의 動作概要是 다음과 같다.

(1) 指令受信機, Beacon受信機 및 制御用 타이머는 恒常 稼動된다.

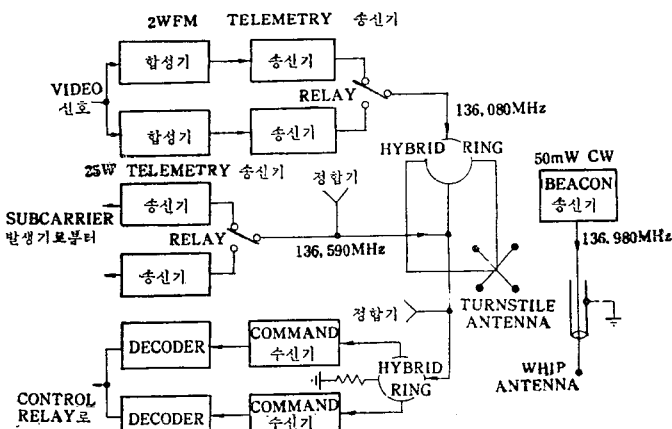


그림 6. Alouette I號의 텔레미터 및 指令系

(2) 地球局의 可視範圍에 들어오면 指令에 의하여 Top Side Sounder 또는 VLF의 둘중 하나를 選擇해서 觀測을 開始한다. 이 觀測結果는 實時間으로 廣帶域텔레미터回線에 의하여 地球局에 보내진다.

(3) (2)項의 動作과 同時に 宇宙雜音, 粒子流 및 衛星環境의 觀測이 開始되어 그 結果는

狹帶域텔레미터回線을 통해 實時間으로 地球局에 보내진다.

(4) (2), (3)項의 觀測은 觀測開始指令後 10分間 繼續된 後에 地上에서의 觀測停止指令이 없어도 自動的으로 電源이 過斷된다.

Top Side의 觀測은 1回의 觀測(1장의 Ionogram을 얻는 데 必要한 時間)에 約 18秒 걸린

다. 따라서衛星速度를 7km/s로 하면 地域의 으로 約 125km마다 샘플된 觀測值가 얻어진다. 그림 7에 Top Side Ionogram의 一例를 나타내었는데, 電離層反射波의 trace는 地上에서 觀測한 것을 거꾸로 놓은 모양이다. 또 地上反射波의 trace등이 主反射波로서 觀測되는 일이 있다.

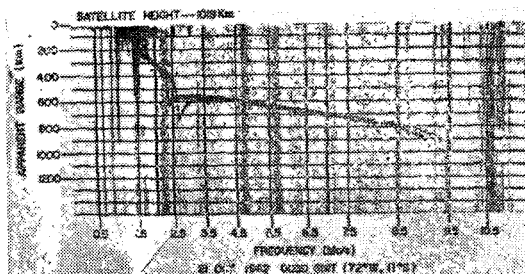


그림 7. Top Side Ionogram

3. 電離層斜入射觀測裝置 (Path Sounder)

3.1 Path Sounder 의 개요

Path Sounder는 送受信裝置를 경비한 것이기 때문에 自局에서 送信한 電波가 電離層을 通해서 대지에서 산란하여 거꾸로 傳播되어 오는 것을 受信할 수도 있고 또 相對局을 설치하여 傳

播實驗을 할 수도 있는 裝置이다. 이 裝置는 펄스변조된 電源周波數를 4~64MHz에서 step 상태로 변화시키어 送信하고 相對局은 이것에 同期된 受信裝置의 周波數를 變化시키어 傳播波의 有無를 自動記錄하는 것이다. 記錄은 오실로스코우프상의 受信出力を 35mm 필름으로 촬영하는 방법을 채택하고 있으며, 橫축이 周波數, 垂直이 相對的인 傳播時間이고 어느 周波數까지 傳播波가 受信되는지를 바로 알 수 있게 된다. 이 기록을 斜 Ionogram이라고 부르고 있다. 이 裝置는 尖頭出力 30kW의 分布增幅部, 標準水晶發振器, 周波數合成器, プログ래머, 受信 및 記錄部, 電子振幅勵振部, 電源 등으로 構成되어 있다.

그림 8은 裝置의 系統圖이다. 送信時에는 標準水晶發振器의 1MHz 및 100KHz, 10KHz의 出力이 固定 및 可變周波合成器로 공급된다. 可變周波合成器는 이 二波와 제어기로부터의 信號에 의하여 100kHz step의 15~18MHz를 발생시키어 체배기 및 變換부에 供給한다. 체배기는 이 것을 2倍, 4倍, 8倍로 체배하기 때문에 出力은 200kHz step으로 變화하는 30~37.8KHz, 400kHz step으로 變화하는 60~75.6MHz, 800kHz step으로 變화하는 120~151.2MHz로 된다. 이들의 周波數帶가 固定周波合成器에서 供

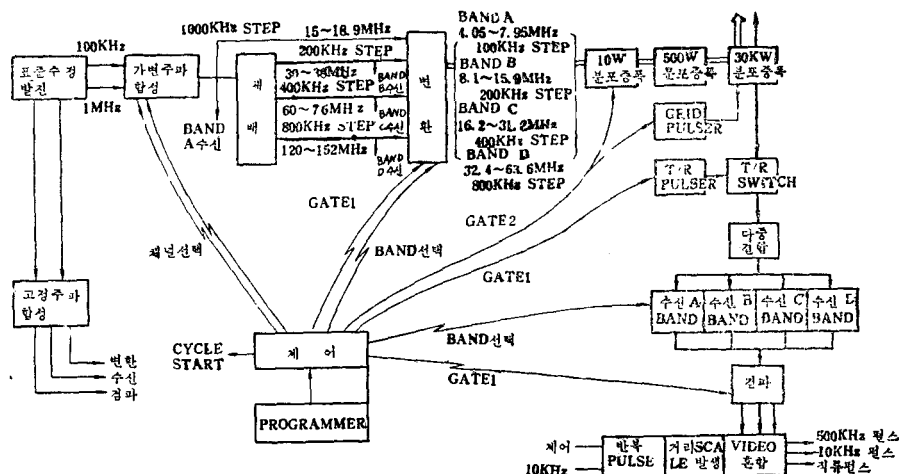


그림 8. Path Sounder의 系統圖

給되는 1.45 및 9.5MHz와 변환기에서混合되어 밴드 A는 4.05~7.95MHz가 된다. 같은 방법으로 밴드 B는 8.1~15.9MHz, 밴드 C는 16.2~31.8MHz, 그리고 밴드 D는 32.4~63.6MHz의周波數帶로 변환되고 펄스變調되어 10W, 500W 및 30kW의各分布增幅部를通하여對數周期안테나에供給되어放射된다. 한편受信時에는對數周期안테나에서 포착된電波는終端分布增幅部의플레이트라인을通하고高耐壓다이오드로構成된T/R스위치를通해서多重結合器에供給되며여기서4.05~63.6MHz의周波數가A,B,C,D의各밴드로分離되어4개의별개受信部에接續된다. 이들의受信信號는체배기에서만들어지는各밴드의局發周波數와固定周波合成器出力에의해서三重周波數變換을행하여500kHz信號가된다. 예를들면밴드A에서는4.05~7.95MHz의受信波가체배기에서만들어진1.5~18.9MHz와混合되어10.95MHz로되고다시10MHz와混合되어500kHz의出力으로된다. 檢波器를지난最終出力은500kHz, 10kHz 및 直流펄스出力으로된다. 따라서만일Sweep을끝내어固定周波數로하고10kHz의受信出力を오실로스코우프에表示시키어그시간경과를보면Doppler효과로부터電離層의움직임도알수가있는것이다. 또可變周波數의檢波出力에서斜Ionogram을만드는것도可能하다.

Path Scounder의制御關係는다음과같이되어있다. 프로그래머에는標準100kHz를分周하여構成한標準時計가있고24시간을1msstep으로選別할수있는펄스를發生시키고있다. 따라서지금送信하고자하는時刻에프로그래머를設定하여놓으면이時刻에start펄스가發生되어裝置內의펄스反復周波數(PRF)發生器의게이트가열려變調펄스를送出하게된다. 또한이裝置는채널反復數(PPC,pulse per channel)의選定에따라同一周波數로어떤펄스를送信하는가를決定하는것에可能하게되어있다. 예를들면PRF=50, PPC=4로選定하여놓으면計數裝置에의해서4개의펄스마다

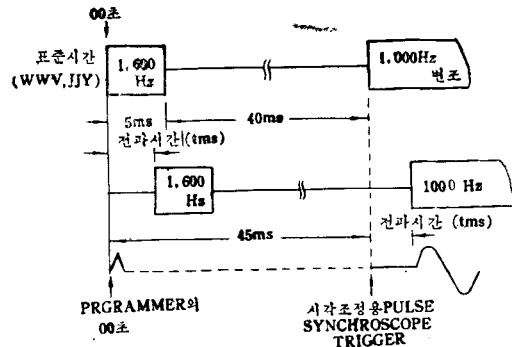
制御信號가可變周波數合成器에送出되어LC發振器의容量을變化시키며이周波數가標準水晶發振器의出力으로位相固定(phase locking)되어送信된다.

送信되는周波數(채널周波數)는各밴드40波로되어있기때문에640펄스가計數되면sweep完了펄스가發生되어PRF의게이트가닫힌다. 이경우4.05~63.6MHz를sweep하는데에必要한時間은 $640P \div 50p/s = 12.8s$ 가된다.

受信時의動作도거의같으며變調펄스가끌나면촬영용오실로스코우프, 카메라등이作動하게되어있다. 裝置의性能을보면表3과같다.

3.2 時刻 Setting

Path Sounder裝置는모두獨立同期式이므로미리各局의時刻을正確히 맞추어둘必要가있다. 이를위하여는標準電波WWV나JJY를受信해서每日時刻調整을하는데그方法은그림9와같다. 그림의上端은標準電波의變調



기린 9. 標準時間과 Path Sounder의 時刻 Setting

方式으로서0秒부터5ms동안160Hz의펄스가나가고그후40ms동안은無變調로된다. 그후1,000Hz의變調가다음秒信號가까이까지繼續된다. 元來時刻을맞추는데는秒信號를利用하면좋지만混信등의영향을받기때문에正秒에서45ms늦은1,000Hz의상승점을잡아時計를맞춘다. 그림의中端은標準電波가標準電波發射地點과受信點사이의傳播에必要한時間을表示한것이다.

表 3. Path Sounder의 性能

周波數	範圍 安定度	4.05~63.6MHz $5 \times 10^{-10}/\text{日}$
채 널	總數	160채 널
	밴드A	4.05~7.95MHz, 100kHz step
	밴드B	8.1~15.9MHz, 200kHz, step
	밴드C	16.2~31.8MHz, 400kHz step
	밴드D	32.4~63.6MHz, 800kHz step
펄 스	幅	50, 100, 200, 500, 1000 μs
	反復數	2, 5, 10, 20, 50 PPS
	차별反復數	1, 2, 4, 8
送 信	尖頭值出力	30kW
	入出力임피던스	50 Ω
受 信	입력임피던스	50 Ω
	밴드幅	6.16kHz
	感 度	0.5 μV (S+N/N=2:1)
	Dynamic Range	40dB
	비례오出力	500kHz, 10kHz, DC 펄스
안테나	型	對數周期
	偏 波	垂 直
	element 數	逆 V element 9
	利 得	5 dB / $\frac{\lambda}{4}$ 接地垂直 풀

Path Sounder의 프로그래머에는前述한 바와 같이 時間間隔이 正確한($5 \times 10^{-10}/\text{日}$)時計가 있고 이로부터 1秒마다 두가지 信號가 나오고 있다. 하나는 時計와同一 時刻의 것이고 다른 하나는 Plug Board에 設定한任意의量만큼 時計보다도 늦게 나오는 秒信號(時刻調整用秒펄스)이다. 여기서 後者の量을 45ms로決定해 놓는다. 標準電波의 發射地點과 受信點 사이의 傳播에 tms가 걸린다고 하면 下端과 같이 時刻調整用秒펄스에 의해서 synchroscope를 同期시키고 標準電波의 1,000Hz 상승점이 左端에서 tms에 오도록 時計 전체를 微調하면, 프로그래머의 時計는 標準電波와一致하게 된다. 이 微調의量을 每日 調查함으로써 水晶發振器가 流動하는 量을 判定할 수 있다. 같은 方法으로 相對局에서도 時刻調整를 행하면 各局의 時計가一致하게 된다.

이 時刻調整은 電離層 높이가 日變化하는 것을考慮해서 每日 定刻에 행하면 되지만 自然現象이기 때문에多少의誤差가混入되는 것은 피할 수 없다. 最近 試圖되고 있는 플라잉 클럭(flying clock)에 의해서 時刻을 맞추듯가 세슘이나 리비듐의 電子振動을 利用한 時計裝置를 쓰면 이誤差는 減少된다.

3.3 送受信裝置의 同期

Short펄스, long펄스라고 부르는 펄스幅이 다른 電波로 각각 sweep하여 1回의 觀測을 마치게 되어 있다. short 펄스는 幅 100 μs , 反復周波數 50, 同一波數 反復數 4回이기 때문에 sweep時間은 12.8초가 된다. short펄스 sweep의 最後의 펄스에서 long 펄스로 移行하는데, 펄스幅, 1ms, 反復數 20, 同一波數反復數 2回로 sweep을 행한다. 이것에 必要한 時間은 16秒이다. 이 펄스幅의 切換과 同時に 受信機의 밴드幅이 16kHz에서 6kHz로 또, 오실로스코우프의 掃引時間도 10ms에서 40ms로 切換된다.

送信波를 어떻게同期시켜受信하는가를 說明하기 위하여 호주 “세인트 길더”를 送信局, 일본 “야마가와”를 受信局으로 例를 든다. 送信局에서는 4分 00秒, 14分 00秒…와 같이 送信을 每時 6回 행하고 있다. 送受信 地點間의 傳播時間은 約 26ms가 되므로 4分 00秒에 發射된 4MHz의 제1 펄스는 4分 00.026秒에 受信局에 到達하게 된다. 受信局의 Path Sounder는 프로그램 펄스가 나온 후 4MHz의 最初 펄스가 나오기까지 및 오실로스코우프의 最初 sweep를開始하기 까지에 31ms가 걸리도록 遲延回路가 設置되어 있다.

지금 受信信號가 오실로스코우프의 左端에서 5ms 位置에 나타나게 周波數의 同期를 잡으려면 送信波가 到達하기 36ms 前에 受信系統, 오실로스코우프 等이 start되게끔 프로그램을 한다. 즉 그림 10과 같이 每 10分마다 03分 59.990秒에 프로그래머에서 start pulse가 나오게 해 놓으면 送信局에서 送信된 電波中の傳播可能한 周波數帶는 모두 受信局의 펄름에 記錄되

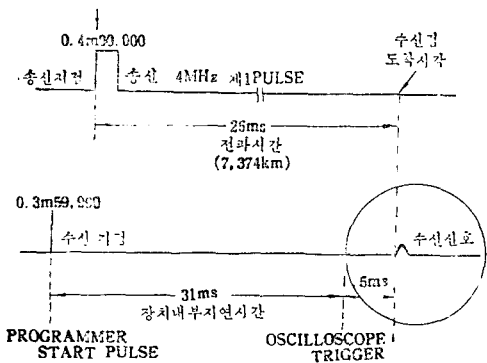


그림 10. 送受信의 同期

어斜 Ionogram이 얻어진다. Path Sounder는 送受信裝置가 경비되어 있으므로 國際共同實驗이 可能하다.

그림 11은 Path Sounder를 使用하여 얻은 斜 Ionogram의 一例이다. 記錄에서 直接 알 수 있는 바와 같이 16MHz 以下의 周波數는 電離層의 減衰 때문에 受信이 不可能하고, 또 36MHz 以上의 電波는 電離層을 透過해서 受信이 不可



上 : short pulse 下 : long pulse

그림 11. 斜 Ionogram

能하다. 또한 27MHz 以下는 多重反射波가 있기 때문에 實際 通信에서는 이들의 干涉 때문에 質의 劣化가豫測되는 範圍이다.

이와 같이 Path Sounder는 綿密한 計算을 하지 않고도 2點間의 電波傳播狀態를 調查할 수 있는 裝置이다.

4. 電離層電子總量測定

電離層의 各高度에서의 電子密度를 漢定하지 않고 電離層의 電子總量을 漢定하는 方法으로 人工衛星에서 發信된 Beacon電波를 受信하여 그 偏波面이 回轉하는 量을 알아서 電波가 通過한 電離層內의 電子總量을 구하는 方法, 즉 Faraday回轉法이 있다.

磁化이온(magnetoion)媒質內를 通過할 때 平面波는 그 偏波面이 回轉하는데, 그 總回轉角은 대략 磁場의 傳播方向成分의 平均值에 비례하고, 또 單位面積의 傳播路길이로 된 실린더에 包含되어 있는 電子總數에 비례한다. 人工衛星이 磁場에 대하여 繼續 移動함에 따라 傳播路에서 電波의 電氣벡터가 받는 總回轉角은 時間に 따라 变한다. 그 結果 受信地點의 電氣벡터는 連續回轉한다. 地磁場의 크기는 알려져 있으므로 傳播路에서의 總回轉角을 알면 그 傳播路에 包含되어 있는 電子量이 대략 구해진다. 實제로 總回轉角을 漢定할 수는 없고 그 대신 回轉率과 軌道上 2點間에 일어나는 回轉의 個數를 구한다. 이로부터 電子總量을 구하는 方法에는 單周波數法, 2次 Faraday回轉法과 둘 이상의 近接 2周波數法이 있다.

Faraday回轉法의 利點은 漢定資料의 蒐集과 分析이 간단하여 努力과 經費가 적게 든다. 또 이 方法은 長期間 漢定實驗에 適合하다.

그림 12는 우리空軍의 Faraday回轉測定裝置이고, 그림 13은 Beacon信號受信用 수퍼히테로

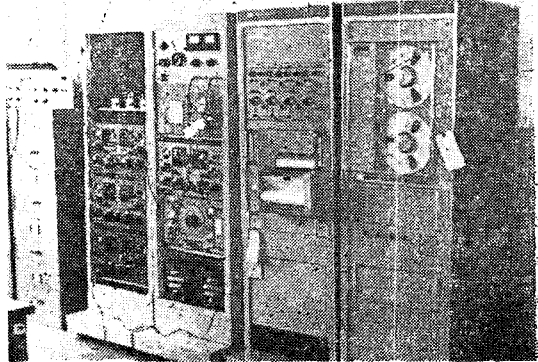


그림 12. Faraday回轉測定裝置

다인 受信機이다. 그림 14는 近接周波數法에 쓰이는 Faraday 回轉 記錄데이터이다.

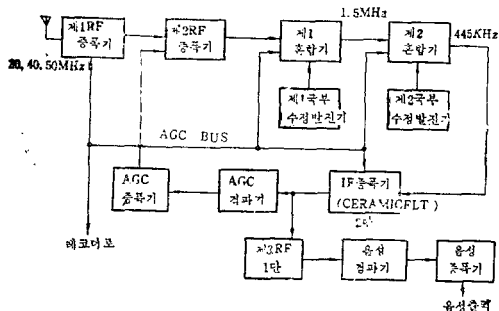


그림 13. Beacon 信號受信用
수퍼헤테로다인 受信機

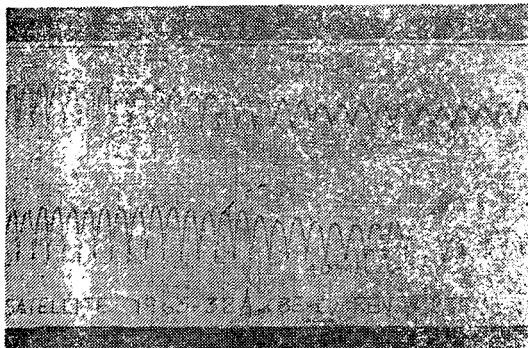


그림 14. Faraday回轉 記錄 데이터

5. 結 言

電離層의 觀測方法에는 前述한 것 외에 그 對象으로 하는 電離層의 領域, 現象, 運動 等에 따라 여러가지 種類의 方法이 있지만 紙面 關係上 種類를 들어 본다.

一般的으로 電離層의 吸收現象을 研究하기 为한 A觀測法(Absorption)에 A₁(펄스振幅測定) A₂(宇宙雜音吸收測定, 리오메터라고도 한다). A₃(CW電界强度測定)가 있고, 電離層의 移動(혹은 電離層風)을 測定하기 为한 D觀測法(Drift法)에 D₁(近接地點受信 Fading法), D₂(流星尾觀測) D₃(電波星, Scintillation法), D₄ (遠地點反射觀測法) 等이 있다. 또 電離層內의 中性大氣의 移動을 測定하기 为하여 Laser를 利用하는

것이 近年 開發 되고 있다. 또한 下部 電離層(D領域等) 을 測定하기 为해 LF 혹은 VLF가 傳播할 때의 強度의 變動이나 特히 移相을 測定하는 方法이 극히 有力視되고 있다.

또한 特히 注目되는 것은 強力한 VHF 以上의 펄스電波를 發射해서 電子로부터의 非干涉性後方散亂波를 受信함으로써 地上에서 最大電子密度의 上側도 測定할 수 있는 方法이다. 이 方法에 의하면 電子密度 뿐만 아니라 電子溫度, 이온 溫度도 알 수 있지만 극히 큰 送受信設施을 必要로 하기 때문에 아직 널리 使用되고 있지 않다.

電波에 의한 電離層의 反射波를 受信하는 方法에도 上述한 方法外에 單純펄스가 아니라 CW를 쏘아 測定하는 方法, 즉 FM-CW 方法도 最近 注目되어 數W 程度로 Ionogram을 얻고 있다. 펄스에 對해서도 레이더와 같이 Code-pulse 方式으로 感度와 높이 測定精度를 높이는 技術이 開發되고 있다.

電波를 利用하지 않는 方法으로서는 로켓트에 測定器를 積載하여 直流 Probe 혹은 高周波 Probe에 流れる 電流의 크기로부터 電子密度를 直接測定하는 方法, 또한 質量分析器를 로켓트 혹은 人工衛星에 塔載하여 電離層을 構成하고 있는 이온의 種類와 密度 및 에너지 즉 이온 溫度를 研究하는 것이 開發되었다.